

## &lt;研究論文&gt;

**80Ni-20Fe Permalloy 薄膜의 同時析出 機構에****關한 電氣化學的 考察**

李敬鎬\* 康卓\* 羅亨用\*\*

**An Electrochemical Analysis on the Alloy Deposition  
of 80Ni-20Fe Permalloy Thin Film**

K. H. Lee Tak Kang and H. Y. Ra

**Abstract**

80% Ni-Permalloy is soft magnetic material with high initial permeability and low magnetic coercive force  $H_c$ , and is used to computer memory cores and minirelays of communication engineering.

In this paper 80 Permalloy thin film on copper cathode was alloy-deposited from Watts solution containing  $\text{FeSO}_4 \cdot 7\text{H}_2\text{O}$ . The amount of  $\text{FeSO}_4 \cdot 7\text{H}_2\text{O}$  in the solution, pH, temperature of the solution and plating current density were varied as parameters and the resulting composition changes of deposited film were analyzed electrochemically with respect to the parameters.

From the above procedure electroplating conditions for deposition of 80 Permalloy were established as following: 17-21 g/l of  $\text{FeSO}_4 \cdot 7\text{H}_2\text{O}$  in Watts solution, current density 1.0-2.0 Amp/ $\text{dm}^2$ , pH 2.5-3.0 and temperature range of 50-60°C.

**☆ 초 록**

Ni 80%인 80 Permalloy는 높은 初透磁率과 낮은 保磁力を 갖는 電磁石 材料로서, 高速 및 大容量의 電子計算機 記憶素子나 通信工學用의 mini-relay 等에 많이 사용된다.

本實驗에서는 이 80 Permalloy를 Watts 溶液과  $\text{FeSO}_4 \cdot 7\text{H}_2\text{O}$  混合浴중에서 合金鍍金하였으며 이 때의 變數로서  $\text{FeSO}_4 \cdot 7\text{H}_2\text{O}$ 의 量, pH, 温度, 電流密度를 變화시켜, 이에 따른 鍍金層 組成의 變化를 電氣化學的으로 解析하여 80 % Ni 組成을 얻는 變數의 本位를 확립하였다.

$\text{FeSO}_4 \cdot 7\text{H}_2\text{O}$ 의 量이 많아지면 도금층의 Fe 含

量이 증가하였으며,  $\text{FeSO}_4 \cdot 7\text{H}_2\text{O}$ 의 量이 17 ~ 21 g/l, 電流密度가 1.0 ~ 2.0 Amp/ $\text{dm}^2$ , pH 가 2.5 ~ 3.0 일 때 80 Permalloy를 얻었다. 鍍金浴의 온도가 상승하면 Ni 含量이 증가하였으며, 80 Permalloy를 얻기 위한 温度區間은 50 ~ 60 °C였다.

**I. 序 論****I-1. 目 的**

Ni 80%, Fe 20%인 80 Permalloy는 높은 初透磁率과 낮은 保磁力  $H_c$ 의 特性을 갖는 電磁石 材料이다. 특히 낮은 保磁力의 特性은 記憶開閉時間 (Memory switching time) 을 짧게 한다는 利點이 있어 高速, 大型의 電子計算機 磁氣記憶素子나 通信工學用의 少型 relay 等에 적합한 材料로

\* 서울大 工科大學 金屬工學科 大學院  
Graduate School S. N. U.

\*\* 서울大 工科大學 金屬工學科 副教授  
Faculty, College of Eng. S. N. U.

알려져 있다.<sup>(1,2)</sup>

이 80 Permalloy 를 電氣鍍金法에 의해 合金鍍金하게 되면 製造가 간편하고 特定 局部位置에 사용할 수 있다는 利點이 있다.

따라서 本 研究에서는 鍍金浴의 變數에 따른 鍍金層의 Ni 과 Fe 的 組成變化를 測定하였으며, 80 Permalloy 의 同時析出機構을 電氣化學的으로 解析하였다.

## I-2. 製造原理 및 鍍金麥數

單體 Ni 과  $Ni^{+2}$  ion, 單體 Fe 와  $Fe^{+2}$  ion 간의 標準還元電位는 각각,

$$E^\circ_{Ni/Ni^{+2}} = -0.2480 V$$

$$E^\circ_{Fe/Fe^{+2}} = -0.4265 V \quad (3)$$

이에, Nernst eq.에 의한 각각의 平衡還元電位는,

$$E_{Ni/Ni^{+2}} = E^\circ_{Ni/Ni^{+2}} + \frac{RT}{2F} \ln a_{Ni^{+2}}$$

$$E_{Fe/Fe^{+2}} = E^\circ_{Fe/Fe^{+2}} + \frac{RT}{2F} \ln a_{Fe^{+2}} \quad (1)$$

로 表示된다. 여기서, R은 氣體常數이고 T는 絶對溫度, F는 Faraday 常數를 각각 나타낸다.

실제 鍍金 時에는 分極作用을 고려해야 하므로 Ni, Fe 的 過電壓을 각각  $W_{Ni}$ ,  $W_{Fe}$  라 할 때 실제의 還元電位는,

$$E_{Ni} = E^\circ_{Ni/Ni^{+2}} + \frac{RT}{2F} \ln a_{Ni^{+2}} - W_{Ni}$$

$$E_{Fe} = E^\circ_{Fe/Fe^{+2}} + \frac{RT}{2F} \ln a_{Fe^{+2}} - W_{Fe} \quad (2)$$

가 된다.

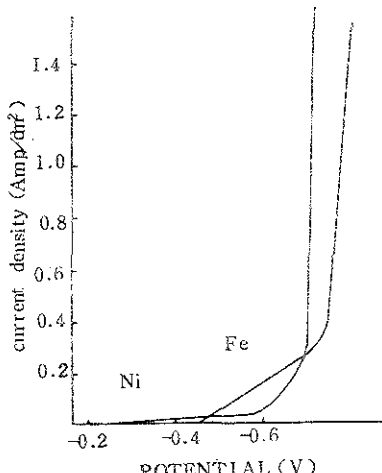


Fig.1 Potential-Current Density Curve of  $Ni/Ni^{+2}$  and  $Fe/Fe^{+2}$

여기서 Ni 과 Fe 가 동시에 析出하는 조건은

$$E_{Ni} = E_{Fe}$$

따라서 本 實驗에서는  $NiSO_4 \cdot 6H_2O$ ,  $NiCl_2 \cdot 6H_2O$ ,  $H_3BO_3$  를 一定量 넣은 Watts 溶液에  $FeSO_4 \cdot 7H_2O$ 의 添加量을 變化시키고, pH, 溫度 및 電流密度를 變化시켜 이들 각 變數와 鍍金層의 Ni, Fe 的 組成比와의 關係를 調査하였다.

Fig.1 은 Ni 과 Fe의 각각의 ion과의 平衡에 對한 電位-電流密度曲線이다.

## I. 實驗方法

### I-1. 鍍金溶液 製造

鍍金浴으로는  $NiSO_4 \cdot 6H_2O$ ,  $NiCl_2 \cdot 6H_2O$ ,  $H_3BO_3$  및  $FeSO_4 \cdot 7H_2O$ 를 순서대로 溶液에 加하여 만든 溶液을 250 cc beaker에 넣어 사용하였다.

鍍金溶液의 溫度는 恒溫槽과 溫度調節器에 의해 40~70°C로 조절했으며 電流密度는 정류기에 의해 0.5~2.5 Amp/dm<sup>2</sup>으로 조절했다.

Fig.2는 鍍金裝置를 나타낸 그림이다.

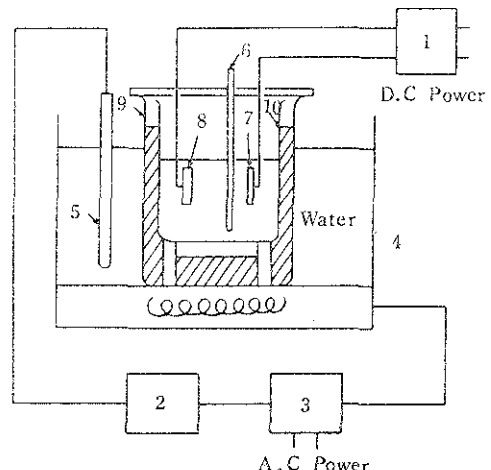


Fig.2

1. Rectifier 2. Magnetic Switch & Mini-Relay 3. Transformer(2KVA) 4. Water Bath  
5. Thermoregulator 6. Thermometer 7. Pt-Wire(Anode) 8. Cu Plate(Cathode) 9. ø 150 Beaker 10. ø 70 Beaker

Fig.2 Schematic Diagram of Plating Bath

### II-2. 鍍金素地의 前處理 및 鍍金

鍍金素地인 陰極은 0.1 mm 두께의 Cu 板을 사용했는데 前處理로는 脫脂後 電解研磨하였다. 陰極의 電流密度를 조절하기 위하여 지름이 30 mm인 원형으로 구리板을 잘라 電解研磨하였다.

電解研磨條件은 다음과 같고 電解研磨裝置의 개략적인 그림을 Fig.3에 나타내었다.

〈電解研磨條件〉

電解密度: 10 Amp/dm<sup>2</sup>  
時 間: 2 ~ 3 分  
溶 液: 인산 ( $d = 1.4 g/cc$ )  
陰 極: Mo 線

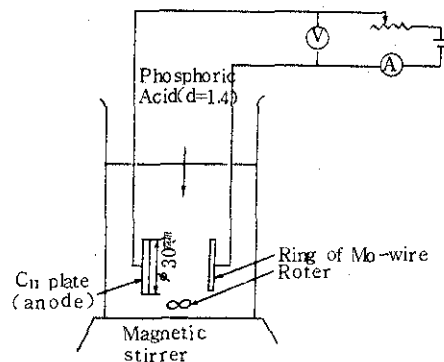


Fig.3 Schematic Diagram of Electropolishing Apparatus

### II-3. 鍍金方法

鍍金陽極은 Pt線을 사용했으며 鍍金時 電極間의 거리가 变하지 않도록 補助物을 사용하여 固定시켰으며, 鍍金溶液은攪拌하지 않고 鍍金하였다. 鍍金時の 變數로서  $FeSO_4 \cdot 7H_2O$ 의 量은 13 g/l, 17 g/l, 21 g/l, 25 g/l로 변화시켰고 電流密度는 정류기를 사용하여 1~3 Amp/dm<sup>2</sup>으로, pH는 전한 黃酸과 전한 암모니아수를 사용하여 0.5~3으로 조절하였다.

pH의 測定은 TOA Electronics 製品의 pH-meter를 사용하여 하였다. 鍍金溫度는 40, 50, 60, 65, 75 °C로 변화시켰다.

## III. 實驗結果

### III-1. $FeSO_4 \cdot 7H_2O$ 量에 따른 鍍金層의組成

鍍金層의 Ni과 Fe의組成은 螢光 X-ray로 定量分析하였으며, 溶液 중의  $FeSO_4 \cdot 7H_2O$ 의 量에 따른 鍍金層의組成變化는 Fig.4와 같다. 이 Fig.4에서  $FeSO_4 \cdot 7H_2O$ 의 量이 증가함에 따라 鍍金層의 Fe含量이 증가하였으며, 20% Fe의 鍍金層을 얻기 為해서는 溶液에 添加되는  $FeSO_4 \cdot 7H_2O$ 가 17~21 g/l인 것을 알 수 있다.

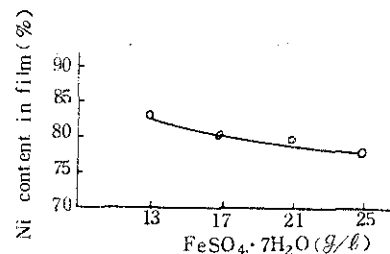


Fig.4 The variation of Ni content in the deposited film with the amount of  $FeSO_4 \cdot 7H_2O$  in the solution

### III-2. 電流密度에 따른 鍍金層의組成

Fig.5는 電流密度에 따른 鍍金層의 Ni含量變化를 나타낸 그림으로, 電流密度가 1.0~2.0 Amp/dm<sup>2</sup>의 부근에서 鍍金層의 Ni含量이 約 80인 것을 알 수 있다.

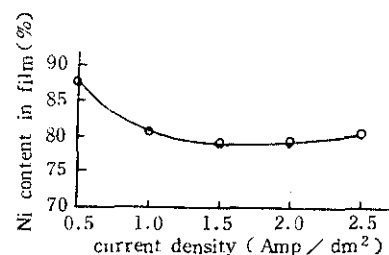


Fig.5 Ni content change in the deposited film with respect to the change of current density

### III-3. pH에 따른 鍍金層의組成

Fig.6은 pH의變化에 대한 鍍金層 Ni含量의變化를 나타낸 그림으로, pH가 2.5~3.0일때 鍍金된 薄膜의 Ni組成이 80%에 가까운 것을 알 수 있다. pH가 2.5以上에서는  $Fe(OH)_3$ 의 Colloid 狀態의 부유물이 생기기 시작하고, 鍍金이

진행될수록 陰極 주위의 pH는 점점 높아지므로 더욱 水酸化鐵의 침전량은 증가하였다.

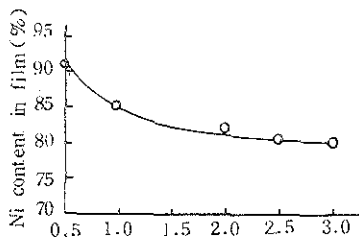


Fig. 6 The variation of Ni content in the deposited film with respect to pH of the solution

#### III-4. 溫度變化에 따른 鍍金層의 組成

Fig. 7 은 溶液의 溫度上昇에 따른 鍍金層 Ni 含量의 变화를 나타낸 그림으로 鍍金浴의 溫度가 50~60°C 일 때에 膜의 Ni 含量이 80%에 가까운 것을 알 수 있다.

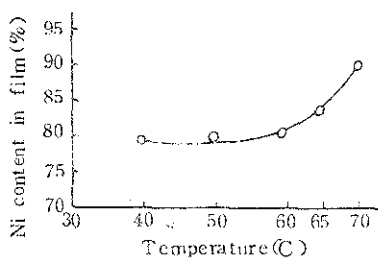


Fig. 7 The variation of Ni content with respect to temperature of the solution

따라서 以上에서 설명한 80 Permalloy 와 鍍金條件은 다음과 같이 정리할 수 있다.

Watts solution :  $\text{NiSO}_4 \cdot 6\text{H}_2\text{O}$  300g/l  
 $\text{NiCl}_2 \cdot 6\text{H}_2\text{O}$  20g/l  
 $\text{H}_3\text{BO}_3$  30g/l

$\text{FeSO}_4 \cdot 7\text{H}_2\text{O}$  : 17~21g/l

pH : 2.5~3.0

온도 : 50~60 °C

전류밀도 : 1.0~1.5 Amp/dm<sup>2</sup>

#### IV. 考 察

##### IV-1. 合金鍍金機構

鍍金素地인 Cu版과  $\text{Ni}/\text{Ni}^{+}$  및  $\text{Fe}/\text{Fe}^{+}$ 의

初期析出電位는 計算할 수는 없으나, Ni 素地 上의  $\text{Ni}/\text{Ni}^{+}$  및 Fe 素地 上의  $\text{Fe}/\text{Fe}^{+}$  각각의 平衡電位보다는 좀 더 높다고 알려져 있다.<sup>(4)</sup>

Fig. 8 은 Cu 陰極板에 대한  $\text{Ni}/\text{Ni}^{+}$ ,  $\text{Fe}/\text{Fe}^{+}$ 의 初期析出電位 및 陰分極에 대한 그림으로, Cu 板에 대한  $\text{Fe}/\text{Fe}^{+}$ 의 初期析出電位는 -92 mV로,  $\text{Ni}/\text{Ni}^{+}$ 의 -221 mV보다 월등히 높으나, 실제로 反應이 시작된다고 볼 수 있는 分解電壓은 비슷하게 -600mV 근처이다. 따라서  $\text{Ni}^{+}$  ion과  $\text{Fe}^{+}$  ion은 실제로 거의 동시에析出이 시작된다고 생각된다. 合金鍍金溶液의 경우에는, 初期析出電位가 -216 mV로서  $\text{Ni}^{+}$  ion과  $\text{Fe}^{+}$  ion이 따로存在하는 溶液에서의 初期析出電位 사이의 差인데, 이것은 Glasston이 解明한 同時析出 시의 固溶體化에 依한 減分極(depolarization) 현상과 부합된다.<sup>(5)</sup> 이 溶液에 의해 鍍金된 鍍金層의 Ni 和 Fe의 組成比

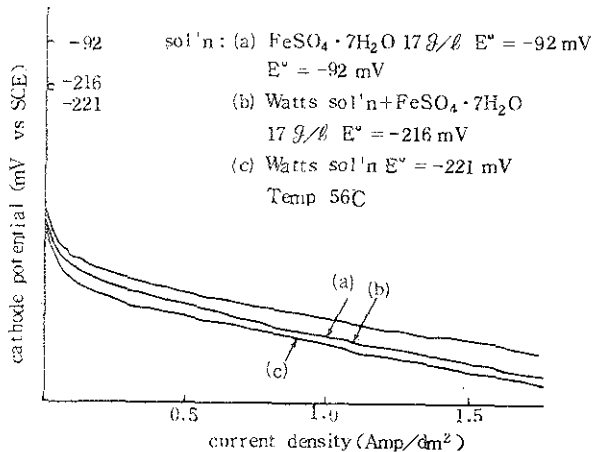


Fig. 8 Cathodic polarization of solutions with chemical compositions of solutions as a parameter

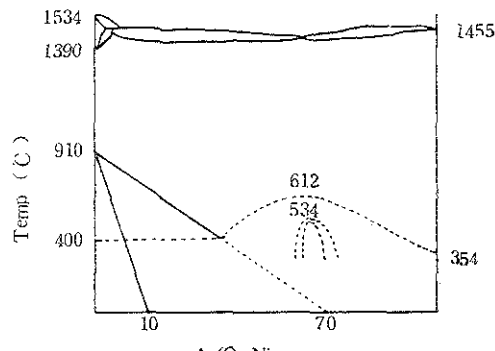


Fig. 9 Ni-Fe Binary Phase diagram

는 80對20으로 Fig.9에서 보듯이 이組成의 合金은 Ni이  $\gamma$ -Fe 내에 固溶體로 存在하는組成이다.

## IV-2. 鍍金變數에 따른 合金鍍金 溶液의 分極現象

### 가) 溫度에 따른 溶液의 分極

水溶液에서의 ion의 速度에 대한 식은 다음과 같은 Boltzmann 分布를 취한다.

여기서  $\lambda$ 는 ion의 ionic導度, A는 常数 E는 活性化 에너지, R은 氣體常数이고 T는 絶對溫度를 나타낸다.

式(3)에서 보듯이 溫度가 上昇하면 모든 ion의 傳導度는 증가되므로, Fig.1에서와 같이 Watts 溶液의 分極은 약간 감소하며, 初期析出電位는 증가한다.

合金鍍金溶液의 경우에도 溫度가 증가하면 分極이 감소하므로 還元電位가 더 貴한  $\text{Ni}^{+}$  ion의析出이 조장되어 鍍金層의 Ni 含量은 증가한다.<sup>(7)</sup>

Fig.11은 溫度에 따른 合金鍍金溶液의 分離을 나타낸 그림이다.

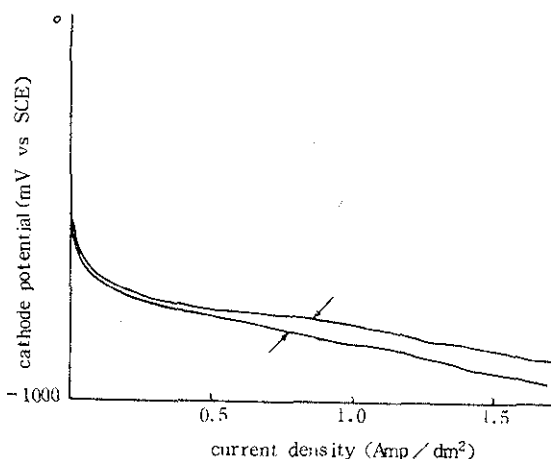


Fig.10 Cathodic polarization of Watts solution with temperature of solution as a parameter

4). 滴液 中의  $\text{Fe}^{+2}$  前에 따른 鎳金浴의 分離

Watts 溶液에  $\text{Fe}^{++}$  ion 이 증가될수록 析出加能한  $\text{Fe}^{++}$  ion 的 量이 증가하므로 鎌金層의 Fe 含量은 증가한다

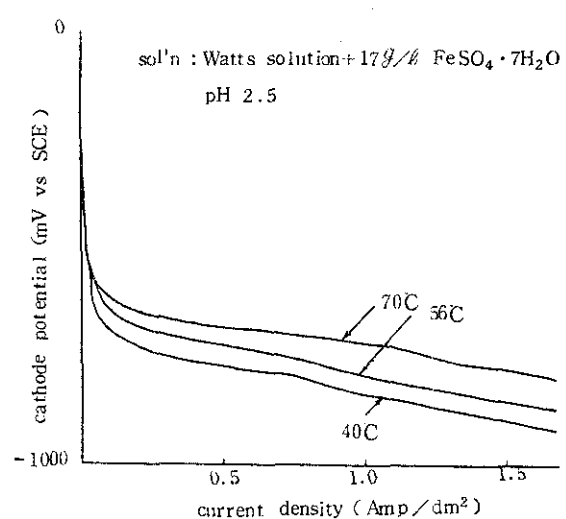


Fig.11 Cathodic polarization of plating solution with temperature of solution as a parameter

Fig.12는 溶液 중의  $\text{Fe}^{++}$  ion의 量變化에 대한 鍍金浴의 分極을 나타내는 그림으로,  $\text{Fe}^{++}$  ion의 量이 많아지면 陰極에 확산 및析出되려는  $\text{Ni}^{++}$  ion과  $\text{Fe}^{++}$  ion이 상호 경제하므로 分極이 조장된다.

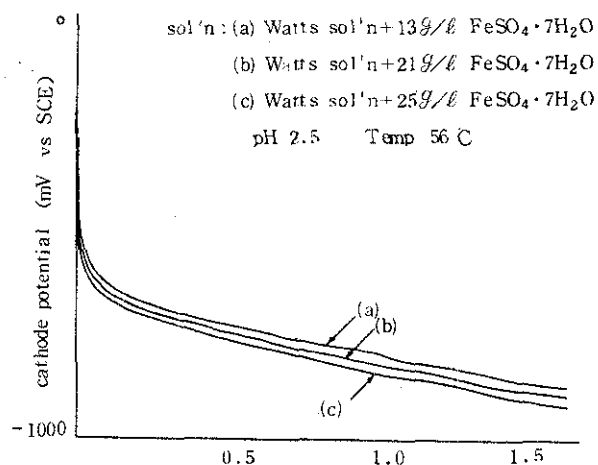
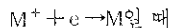


Fig.12 Cathodic polarization of plating solution with  $\text{Fe}^{++}$  amount in the solution as a parameter

### IV-3. 率速反應

Glasstone에 의하면 Fe-group ion의 느린 脫水化(dehydration)로 인한 ion의 느린 放出이 全體反應의 率速이 된다고 하며<sup>(8,9)</sup> Bockris에 의하면 Fe-group ion은 水化(hydration)되면서에너지가 감소하여 보다 안정한 狀態가 된다고 한다.<sup>(10)</sup> 따라서 電極板에 擱散된 ion이 脫水化되고 格子點을 찾아가는 反應이 率速反應이라 생각된다.

일반적으로 1價 ion  $M^+$ 에 대한 電極反應速度式은



電極速度 =  $k_1 a + e^\alpha$  양극속도와 같아

로 표시된다.

비슷하게 陽極反應速度式은

$$\text{陽極速度} = k_2 e^{-(1-\alpha)FE'/RT}$$

로 표시된다.

여기서,  $k_1$ ,  $k_2$ ; 常数

$a$ ; 陽 ion의 活動度

$\alpha$ ; 常数

$E'$ ; 電極 주위 二重層에서의 電位差

그러므로, 電極電流  $I_c$  와 陽極電流  $I_a$ 는 각각

$$I_c = F k_1 a + e^\alpha FE'/RT \quad (5)$$

$$I_a = F k_2 e^{-(1-\alpha)FE'/RT} \quad (6)$$

따라서, 電極純電流는

$$I = F \{ k_1 a + e^\alpha FE'/RT - k_2 e^{-(1-\alpha)FE'/RT} \} \quad (7)$$

$E' = E + W$  라 하면

(E: 平衡電位, W: 過電壓)

式 (7) 은

$$I = F \{ k_1 a + e^\alpha FW/RT - e^\alpha FE/RT - k_2 e^{-(1-\alpha)FW/RT} e^{-(1-\alpha)FE/RT} \} \quad (8)$$

平衡電位 E에서는,  $k_1 a + e^\alpha FE/RT$  와  $k_2 e^{-(1-\alpha)FW/RT}$  가 같으므로 式 (8) 은

$$I = F k_1 a + e^\alpha FE/RT \{ e^\alpha FW/RT - e^{-(1-\alpha)FW/RT} \} \quad (9)$$

가 된다.

式 (9)에서 팔호 앞의 값은 平衡電位에서의 陰極(= 陽極)電流 값이므로 이것을  $I_o$ 라 하면

$$I = I_o \{ e^\alpha FW/RT - e^{-(1-\alpha)FW/RT} \} \quad (10)$$

실제로 鍍金하는 領域에서는 分極되는 値이 크므로 다음과 같이 간단히 한다. 즉 W가 증가할수록 팔호 앞의 첫 項은 급히 커지지만 둘째 項은 감소하므로 첫 項에 비하여 무시할 수 있다.

따라서 式 (10) 은

$$I = I_o e^\alpha FW/RT \quad (11)$$

와 같이 정리할 수 있으며,

$$\begin{aligned} W &= \text{常数} + \frac{RT}{\alpha F} \ln I \\ &= \text{常数} + \frac{2.3RT}{\alpha F} \log I \end{aligned} \quad (12)$$

式 (12)에 의해 過電壓과 이에 따른 陰極電位는  $\log I$ 에 直線의으로 比例하여 이 때 기울기는  $\frac{2.3RT}{\alpha F}$  가 된다.<sup>(11)</sup>

여기서  $\alpha$ 의 意味는 電極 주위의 二重層에서의 電位差 E' 중,  $\alpha E'$  만큼은 反應을 방해하는 뜻을 갖는 常数이다.

### V. 結論

以上的 研究에서 80 Permalloy를 合金鍍金하는 鍍金變數를 조사하고 電氣化學의으로 考察한 結果 다음과 같은 結論을 얻었다.

1.  $\text{FeS}_4 \cdot 7\text{H}_2\text{O}$ 의 量이 증가하면 鍍金層의 Fe含量도 증가하여 溶液中의  $\text{FeSO}_4 \cdot 7\text{H}_2\text{O}$ 의 量이 17~21 g/l 일 때 鍍金된 薄膜의 Ni 含量이 80%에 가까웠다.

2. 鍍金 時의 電流密度가 1.0~2.0 Amp/dm<sup>2</sup> 일 때 Ni 이 80%인 鍍金層이 얻어진다.

3. 鍍金浴의 pH는 2.5~3.0 일 때 Ni 이 80%인 鍍金層이 얻어진다.

4. 鍍金 時의 溶液의 溫度가 上昇하면 鍍金層의 Ni 比率도 커지며, 80% Ni 的 鍍金層을 얻는 條件은 50~60°C이다.

### 参考文獻

1. D.A.Meier : J.Appl.Phys., Supplement to 30(1959) 453 S
2. T.R.Long : J.Appl.Phys., Supplement to 31(1960) 1235 S
3. 齊谷薰 : 日本金屬學會誌, 14(5), 55(1960) 52
4. S.Glasstone : An Introduction to Electrochemistry, East-West Press(1975) 444
5. S.Glasstone : ibid. 488-489
6. S.Glasstone : ibid. 61
7. E.Raub and K.Müller : Fundamentals of Metal Deposition, Elsevier Publishing Co. (1967) 81
8. S.Glasstone : An Introduction to Electrochemistry, East-West Press(1975) 461
9. S.Glasstone : ibid. 459

10. J.Bockris and A.Reddy : Modern Electrochemistry, Plenum Press, Vol.1(1970) 108-113

11. S.Glasstone : An Introduction to Electrochemistry, East-West Press(1970) 459-461

## 질의 응답

■ 유연성의 니켈 도금을 하고 싶은데 어떠한 조건으로 하는 것이 좋은가?

■ 광택제를 사용하지 않는 욕에서 pH를 될수록 낮추어 2~3 정도로 하고 온도를 높여, 음극 전류밀도를 약  $5 \text{ A/dm}^2$  정도로 하여 도금한다. 니켈의 농도, 염화물의 농도는 너무 높지 않은 것이 좋다. 그러나 욕중의 불순물은 극히 적도록 해야 하며 활성탄처리와 약전해를 하여 깨끗하게 하는 것이 필요하다.

■ 니켈 도금에서 광택제를 가하여 도금하면 광택은 나나 경도가 커진다. 어느 정도까지 경도가 커지는가?

■ 광택제의 종류와 첨가하는 양에 따라 경도가 각각 다르다. 첨가량이 적을 때는 첨가량을 증가함에 따라 경도가 크게 되지만 어느 정도 가하면 그 이상 가해도 경도가 더 커지진 않는다.

■ 삭카린, 나푸타린 디(트리) 슬론산나트륨과 같은 1차 광택제만 넣었을 때는 보통 비커스경도 300 전후이며 2차 광택제와 병용하면 비커스경도 600 혹은 그 이상이 된다. 그러나 경도가 높을 수록 균열, 기타 지장이 발생하기 쉬움으로 상당히 경도가 커도 실용적이 못된다.

■ 참고적으로 기술하면 니켈 합금 도금의 경도는 니켈-코발트 합금이 비커스 500~550, 니켈-철 합금 및 니켈-인 합금이 550~700이 되며 니켈-인 합금 도금은 열처리를 하면 좀 더 경도가 커진다.

■ 장식 크롬 도금면의 내식성을 높이기 위한 기본적인 주의사항은 무엇인가?

■ 크롬 도금면의 내식성을 좌우하는 인자는 여러 가지가 있으나 주로 다음 3 가지이므로 그것에 주의하면 된다.

① 도금층이 필요 이상 두껍게 되면 도금면에 균열이 많아짐으로 전체 도금두께가  $0.5 \mu\text{m}$  이하가 되도록 관리해야 한다.

② 도금두께  $0.5 \mu\text{m}$  이하로 균일화 할 수 없을

때는 하지도금의 두께를 크롬도금의 균열에 의한 응력에 견딜 수 있을 만큼 크게 해야 한다.

③ 하지도금층의 전연성을 크게 하기 위해서는 도금욕의 불순물 제거, 첨가제 관리, 전류분포 관리 등의 작업 관리를 철저히 해야 한다.

■ 장식 크롬도금에 있어서 강전류부분의 크롬도금 두께가 표준치의 수배까지 되어버리는 경우가 있다. 이 부분에 심한 균열이 생겨 내식성을 나쁘게 할 염려가 있는데 이와 같은 균열을 방지할 때에는 어떤 좋은 방법이 있는가?

■ 크롬도금층은 도금면의 부식을 방지하는 가장 밖 깔개이므로 만약 하지도금층까지 도달하는 균열이 발생하면 그 부분의 내식성을 당연히 나쁘게 된다. 이와 같은 균열이 발생하지 않도록 하기 위해서는 우선 크롬도금의 균일 전착성을 향상시키기 위해서 전류분포를 충분히 관리할 필요가 있으며 아울러 다음과 같은 하지 니켈 도금의 작업 관리를 철저히 하는 것이 중요하다.

① 광택 니켈 도금욕의 pH나 용산의 양 등, 욕조 성을 언제나 잘 관리할 것과 또 제 1, 제 2 광택제의 퍼밍 첨가나 불균형 상태가 되지 않도록 하여 강전류 밀도부분의 내부응력을 될 수록 적게 한다.

② 광택 니켈 도금 조내에 철 소재의 물품을 떨어트린 그대로 방치하면 욕중의 철 불순물이 증가하여 내부응력을 높이는 원인이 되므로 물품을 떨어트리지 않도록 해야 한다.

③ 광택 니켈 도금 욕중의 유기 불순물을 제거하기 위해서 상시 또는 정기적으로 활성탄 처리를 해야 한다.

그런데 일반적으로 말해, 강전류부분의 크롬도금 균열을 완전히 없애야 한다는 것은 곤란함으로 물품의 형상이나 품질 구조를 고려하여 필요에 따라 하지도금층(예, 구리 니켈)의 두께를 충분히 입히는 것이 중요하다.